УДК 539.17.539.142.539.143

# ИЗМЕРЕНИЕ ПОЛНЫХ СЕЧЕНИЙ РЕАКЦИЙ ПРИ СТОЛКНОВЕНИЯХ $^{6, 8}$ He + $^{28}$ Si И $^{9}$ Li + $^{28}$ Si

© 2019 г. Ю. Г. Соболев<sup>1, \*</sup>, Ю. Э. Пенионжкевич<sup>1, 2</sup>, В. А. Маслов<sup>1</sup>, М. А. Науменко<sup>1</sup>, В. В. Самарин<sup>1, 3</sup>, И. Сивачек<sup>1, 4</sup>, С. С. Стукалов<sup>1</sup>

<sup>1</sup>Объединенный институт ядерных исследований, Дубна, Россия

<sup>2</sup>Федеральное государственное автономное образовательное учреждение высшего профессионального образования "Национальный исследовательский ядерный университет "МИФИ", Москва, Россия

<sup>3</sup>Государственное бюджетное образовательное учреждение высшего образования Московской области "Университет "Дубна", Дубна, Россия

<sup>4</sup>Институт ядерной физики Чешской академии наук, Ржеж, Чехия

\*E-mail: sobolev@iinr.ru

Поступила в редакцию 01.10.2018 г. После доработки 15.10.2018 г. Принята к публикации 19.11.2018 г.

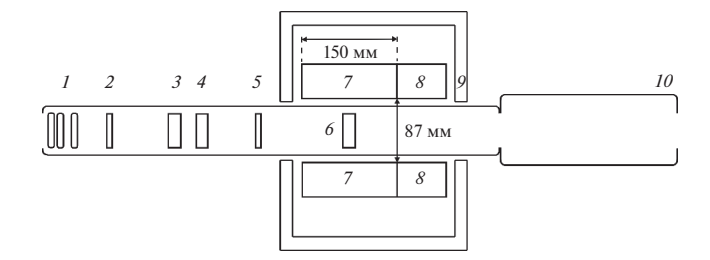
В работе измерены полные сечения реакций  $^{6,8}$ He +  $^{28}$ Si и  $^{9}$ Li +  $^{28}$ Si в диапазоне энергии пучка  $12-39~A \cdot M$ эВ методом трансмиссии с регистрацией мгновенного нейтронного и гамма-излучения спектрометром с шестью сцинтилляционными детекторами. Для анализа экспериментальных данных применена методика, учитывающая экспериментальные значения эффективности регистрации гамма-излучения различной множественности и кратности срабатывания детекторов спектрометра. Проведено сравнение с данными, полученными ранее в других работах. Значения полного сечения реакции  $^{8}$ He +  $^{28}$ Si при энергии около  $20~A \cdot M$ эВ оказались близкими к значениям полного сечения реакции  $^{6}$ He +  $^{28}$ Si. В диапазоне  $12-16~A \cdot M$ эВ полное сечение реакции  $^{8}$ He +  $^{28}$ Si существенно выше полного сечения реакции  $^{6}$ He +  $^{28}$ Si.

### **DOI:** 10.1134/S0367676519040264

#### **ВВЕДЕНИЕ**

Изучение ядерных реакций с участием нейтронно-избыточных слабосвязанных ядер позволяет получать информацию о структуре исследуемых ядер (кластеры, нейтронное гало и т.д.) [1] и ее проявлении в реакциях. Одним из критериев границ применимости и степени точности теоретических моделей является количественное согласие между величинами вычисленных и экспериментально измеренных полных сечений ядерных реакций. Результаты экспериментов по измерению полных сечений  $\sigma_R(E)$  реакций <sup>6,7,9</sup>Li + <sup>28</sup>Si в зависимости от энергии налетающего пучка, выполненных ранее [2-4], показали, что в реакции  ${}^{9}\text{Li} + {}^{28}\text{Si}$  в диапазоне энергий  $E = 10-20 A \cdot \text{MэВ}$  величина полного сечения значительно превышает величину полного сечения реакции  $^{7}$ Li +  $^{28}$ Si [2], что не объяснялось существовавшими на тот момент теоретическими моделями. Динамическая модель, предложенная в работе [2], связывает такое превышение с изменениями при столкновении ядер пространственного распределения нейтро-

нов из внешней скин-оболочки ядра <sup>9</sup>Li. Значение 4 МэВ энергии отделения нейтрона от ядра <sup>9</sup>Li является промежуточным между типичным значением 8 МэВ для тяжелых ядер и значениями в диапазоне 0.5-2 МэВ, характерными для ядер с так называемым нейтронным гало, например 11 Li, 6, 8Не. Измеренные в работах [5, 6] и рассчитанные в работе [7] полные сечения реакций с участием слабосвязанных ядер <sup>6</sup>Не и <sup>11</sup>Li можно представить в виде суммы сечения реакции с ядерным кором и сечения потери внешних нейтронов,  $\sigma_R(^6\text{He}) \approx \sigma_R(^4\text{He}) + \sigma_{-2n}(^6\text{He})$  и  $\sigma_R(^{11}\text{Li}) \approx$  $pprox \sigma_{\it R}\left({}^{9}{\rm Li}\right) + \sigma_{-2\it n}\left({}^{11}{\rm Li}\right)$  соответственно, причем вылет нейтронов в реакциях <sup>11</sup>Li с мишенями Au, Ni, Ве при энергии пучка 29 A · МэВ сильно анизотропен с максимумом выхода в узком интервале передних углов [8]. Это подтверждает, что при развале ядер с низкой энергией отделения нейтрона значительная часть нейтронов летит в передние углы.



**Рис. 1.** Схема экспериментальной установки (в разрезе) для измерения полного сечения реакции с использованием трансмиссионной методики: 1 — полиэтиленовые поглотители для снижения энергии частиц пучка; 2 — сцинтилляционный детектор AC1; 3 — позиционно-чувствительный Si-детектор  $\Delta E$  "16X-16Y"; 4 — стартовый  $\Delta E_0$ -Si-детектор; 5 — сцинтилляционный детектор AC2; 6 — мишень  $\Delta E_T$  Si-PIN-детектор; 7 — CsI(Tl) сцинтилляционные детекторы; 8 — фотоумножители; 9 — свинцовый куб; 10 — окно для вывода пучка.

Данная работа посвящена измерениям полного сечения реакции  $^8$ He +  $^{28}$ Si в диапазоне энергий  $E=12-23~A\cdot \text{M} \rightarrow \text{B}$ , а также реакций  $^9\text{Li} + ^{28}$ Si и  $^6$ He +  $^{28}$ Si при энергиях около 36 и 39  $A\cdot \text{M} \rightarrow \text{B}$ , соответственно. Эксперимент проводился методом трансмиссии, впервые использованным нами в работе [9]. С учетом выхода нейтронов вперед полные сечения реакций с ядрами  $^6$ He и  $^9\text{Li}$  нормировались на данные, полученные ранее в других работах, с поправками, зависящими от энергии отделения одного и двух внешних нейтронов ядер  $^6$ He и  $^9\text{Li}$ . Поправка для ядра  $^8$ He определена путем линейной интерполяции.

# ПОСТАНОВКА ЭКСПЕРИМЕНТА

Экспериментальная установка и метод измерения полных сечений реакций с помощью регистрации мгновенного нейтронного и у-излучения описаны в [9, 10]. Эксперимент проводился на ускорителе У-400М Лаборатории ядерных реакций ОИЯИ на канале ахроматического фрагментсепаратора ACCULINNA [11]. Первичный пучок ядер  $^{15}$ N с энергией 49.7  $A \cdot \text{МэВ}$  фокусировался на производящую мишень <sup>9</sup>Ве толшиной 2 мм. Вторичный пучок продуктов реакции фрагментации формировался и очищался с помощью магнитной системы фрагмент-сепаратора. На выходе последнего дипольного магнита сепаратора пучок попадал в прямолинейный участок длиной 8.5 м, где была установлена система для измерения времени пролета  $T_{\text{TOF}}$ , состоящая из двух тонких сцинтилляционных детекторов  $\Delta E_{\text{TOF1}}$ ,  $\Delta E_{\text{TOF2}}$ . Непосредственно за детектором  $\Delta E_{\text{TOF2}}$  по направлению пучка располагался блок сменных полиэтиленовых пластин и система детекторов активной коллимации AC1 и AC2, между которыми находились тонкие полупроводниковые детекторы  $\Delta E$  и  $\Delta E_0$ .

Схема установки для измерения полных сечений реакций показана на рис. 1. Пучок проходил через полиэтиленовые пластины, служащие для снижения его энергии, и фокусировался на позиционно-чувствительный двухслойный стриповый  $\Delta E$ -Si-летектор толициной 300 мкм (летектор "16X-16Y"). Этот детектор находился в фокальной плоскости фрагмент-сепаратора и мог быть перемещен в позицию на оси пучка для настройки и контроля его параметров (интенсивность, профиль, изотопный состав). Сцинтилляционные детекторы активных коллиматоров АС1 и АС2 располагались на оси пучка таким образом, чтобы траектории частиц, пересекающие их, попадали в чувствительную область детектора-мишени  $\Delta E_{\rm T}$ , не касаясь его элементов крепления, и проходили через выходное окно. Стартовый  $\Delta E_0$ -Si-детектор (толщиной 380 мкм) использовался для запуска системы сбора информации для каждого события пролета частиц пучка через  $\Delta E_0$ -детектор. Информация об энергетических потерях частиц пучка в  $\Delta E_0$ -детекторе использовалась при последующем offline-анализе, например, для идентификации частиц пучка с помощью двухмерного спектра (рис. 2a).

Мишень ( $\Delta E_{\rm T}$ -Si-PIN-детектор толщиной 243 мкм) располагалась в тонкостенной (толщиной 2 мм) вакуумно-плотной цилиндрической камере из нержавеющей стали. С внешней стороны реакционная камера была окружена шестью сцинтилляционными CsI(Tl)-детекторами  $\gamma$ -спектрометра. Спектрометр с реакционной камерой располагался внутри свинцового куба с толщиной стенок 5 см. Внешние поверхности куба были закрыты блоками из борсодержащего полиэтилена толщиной 10 см.

Каждый CsI(Tl)-сцинтиллятор представлял собой прямую призму с основанием в форме правильного шестиугольника с радиусом описанной окружности 5 см. Сцинтиллятор с торца был оптически соединен с фотоумножителем, а с других поверхностей был покрыт светоотражающим и светозащитным слоями. Для дополнительной защиты от низкоэнергетических фоновых у-квантов три внешние грани и основание сцинтилляторов закрывались тремя пластинами из меди, кадмия и свинца толщиной 1 мм каждая. Внутри чувствительной зоны ү-спектрометра располагался только детектор  $\Delta E_{\mathrm{T}}$ , в то время как все другие  $\Delta E$ -детекторы были окружены защитой из свинца и вынесены за эту зону, что приводило к минимальному числу фоновых срабатываний у-спектрометра.

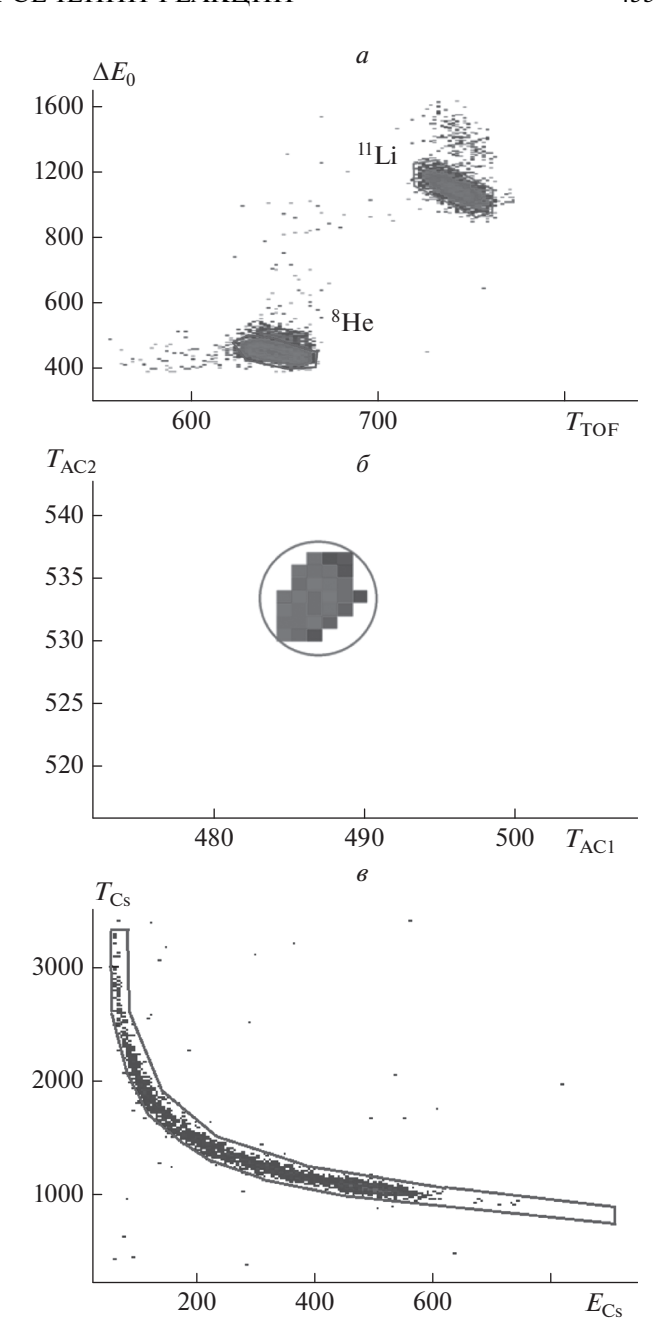
Телесный угол, охватываемый CsI(TI)-сцинтилляторами вокруг  $\Delta E_{\rm T}$ -мишени составлял  $\Omega=4\pi\eta_0$ , где  $\eta_0\approx\cos\theta_{min}$  — геометрическая эффективность регистрации для изотропного выхода регистрируемых частиц,  $\theta_{min}$  — минимальный угол между осью установки и направлением вылета  $\gamma$ -кванта или нейтрона из центра мишени с попаданием в объем CsI(TI)-сцинтиллятора. Для установки, представленной на рис. 1,  $\theta_{min}=30^\circ$  и геометрическая эффективность регистрации изотропного излучения равна  $\eta_0=0.85$ .

Каждый сеанс измерения при определенной энергии пучка проводился как с мишенью, так и без мишени. Экспериментальная информация со всех детекторов записывалась с помощью системы набора данных на накопитель для последующего offline-анализа каждого события пролета частицы пучка через стартовый  $\Delta E_0$ -детектор независимо от наличия реакции в  $\Delta E_{\mathrm{T}}$ -детекторе. Для уменьшения эффекта возможного наложения импульсов в  $\Delta E_0$ - и  $\Delta E_{\mathrm{T}}$ -детекторах интенсивность пучка ограничивалась значением  $10^3 c^{-1}$ . Энергия пучка менялась без значительной потери интенсивности в интервале 20-30 A · МэВ с помощью магнитной системы фрагмент-сепаратора, а в интервале  $7-20 A \cdot MэВ - полиэтиленовыми$ пластинами.

Двумерный спектр  $\Delta E_0 \cdot T_{\text{TOF}}$  идентификации частиц вторичного пучка представлен на рис. 2a. Из него видно, что изотопы <sup>8</sup>Не и <sup>11</sup>Li частиц пучка образуют хорошо разделенные области, позволяющие надежно выделять для последующего offline-анализа определенную группу частиц. Детекторы АС1, АС2 использовались в качестве активных коллиматоров [12] и служили для отбора событий пролета частиц пучка в заданном телесном угле с осью в центре мишени. На рис. 26 представлен двумерный корреляционный спектр  $T_{ACI} \cdot T_{ACI}$ . Точками в центральной области двумерного спектра отмечены события, соответствующие сигналам с обоих детекторов АС1, АС2 в узком временном интервале, т.е. потоку  $I_0$  частиц пучка, проходящих через оба детектора и падающих на центральную часть мишени.

Число событий реакции определялось из условий регистрации  $\gamma$ -кванта или нейтрона хотя бы в одном из шести детекторов спектрометра. Условие регистрации  $\gamma$ -кванта или нейтрона в детекторе графически представлено на рис.  $2 \epsilon$  контуром на двумерном амплитудно-временном спектре  $E_{\rm Cs} \cdot T_{\rm Cs}$  CsI(Tl)-детектора. Нейтрон или  $\gamma$ -квант считались зарегистрированными CsI(Tl)-детектором, если точка на спектре  $E_{\rm Cs} \cdot T_{\rm Cs}$  попадала внутрь контура.

Погрешности  $\delta_E$ , связанные с разбросом энергий пучка перед мишенью, определялись из ана-



**Рис. 2.** a — двумерный спектр  $\Delta E_0 \cdot T_{\text{TOF}}$  вторичного пучка, состоящего из ядер  $^8$ Не и  $^{11}$ Li;  $\Delta E_0$  — ионизационные потери частиц в детекторе,  $T_{\text{TOF}}$  — время пролета частиц пучка на дистанции времяпролетной базы 8.5 м;  $\delta$  — двумерный спектр  $T_{\text{AC1}} \cdot T_{\text{AC2}}$  отбора событий пролета частиц  $^8$ Не и  $^{11}$ Li в центральную область мишени;  $T_{\text{AC1}}$  и  $T_{\text{AC2}}$  — времена прихода сигналов детекторов AC1 и AC2 относительно времени стартового  $\Delta E_0$ -детектора;  $\epsilon$  — типичный амплитудно-временной спектр  $E_{\text{Cs}} \cdot T_{\text{Cs}}$  одного из шести CsI(Tl) сцинтилляционных детекторов спектрометра,  $E_{\text{Cs}}$  — амплитуда (каналы) анодного импульса фотоумножителя,  $T_{\text{Cs}}$  — время срабатывания (каналы) порогового дискриминатора детектора относительно стартового сигнала с  $\Delta E_0$ -детектора.

лиза одномерных спектров  $\Delta E_0$  и  $T_{\text{ТОF}}$ . Потери энергии ядер-снарядов на выходе из мишени  $\Delta E_{\text{Т}}$  рассчитывались с помощью программы LISE++ [13, 14]. Разброс энергетических потерь в мишени определялся выражением  $\Delta_E = (E_0 - E_1)/2 \gg \delta_E$ . Значение сечения приписывалось значению энергии  $E_0 - \Delta_E$ .

## АНАЛИЗ РЕЗУЛЬТАТОВ ИЗМЕРЕНИЙ

Метод трансмиссии пучка, использованный в эксперименте, заключался в измерении потока  $I_0$  частиц, падающих на мишень, и его части  $\Delta I$ , соответствующей неупругим каналам реакции. Величина  $\Delta I$  равна

$$\Delta I = I_0 [1 - \exp(-n\sigma_R)], \tag{1}$$

где n — число ядер мишени на единицу поверхности. В экспериментах с тонкими мишенями при выполнении условия  $\Delta I \ll I_0$  формула (1) может быть приведена к виду

$$\sigma_R = \frac{\Delta I}{I_0 n}.\tag{2}$$

В идеальном случае уменьшение  $\Delta I$  потока  $I_0$ частиц, соответствующее неупругим каналам реакции, может быть измерено посредством регистрации продуктов реакции детектором, охватывающим телесный угол  $4\pi$  вокруг мишени. В реальном случае эффективность регистрации зависит как от энергии у-квантов (нейтронов), так и от охватываемого телесного угла. Эффективность регистрации слабо зависит от энергии у-квантов (нейтронов) из-за достаточно большого объема используемых CsI(Tl)-сцинтилляторов [9], поэтому в данной работе учитывалось влияние только таких факторов как телесный угол (т.е. геометрическая эффективность регистрации), множественность M  $\gamma$ -излучения, анизотропия вылета нейтронов. Поскольку в использованной установке телесный угол, перекрываемый детекторами, составлял  $\Omega = 4\pi\eta_0 < 4\pi$ , в действительности измерялась величина  $\Delta \tilde{I} = \eta \Delta I$ , где  $\eta$  — поправка, учитывающая все вышеуказанные факторы. При изотропном вылете продуктов реакции  $\eta = \eta_0$ , при относительном избытке вылета вперед под малыми углами  $\eta < \eta_0$ , при избытке вылета в направлении детекторов  $1 \ge \eta > \eta_0$ .

Для определения фоновых показаний с пучком ядер  $^{6,8}$ Не и  $^9$ Li проводились измерения без мишени. Время облучения подбиралось таким образом, что число событий  $I_0$  как с мишенью, так и без мишени, было примерно одинаковым.

Для определения эффективности P(M) регистрации спектрометром  $\gamma$ -квантов различной множественности M был проведен модельный экспе-

римент с использованием радиоактивного источника  $^{60}$ Со, установленного на место мишени. В измерениях с источником  $^{60}$ Со в качестве стартового детектора использовался СеВ $_{13}$ -детектор в форме куба со стороной 51 мм. Он располагался на оси пучка на расстоянии 10 см от источника  $^{60}$ Со и не закрывал собой CsI(Tl)-детекторы спектрометра.

Ядро  $^{60}$ Со испытывает бета-распад с образованием в 98.8% случаев дочернего ядра  $^{60}$ Nі в возбужденном состоянии  $4^+$ . Переходы из него в состояние  $2^+$ , а затем в состояние  $0^+$  сопровождаются испусканием  $\gamma$ -квантов с энергиями соответственно  $E_{\gamma,1}=1173$  кэВ и  $E_{\gamma,2}=1332$  кэВ. В масштабах временного разрешения детекторов установки испускание двух  $\gamma$ -квантов происходит одновременно. Регистрируя  $\gamma$ -кванто происходит одновременно. Регистрируя  $\gamma$ -квант с  $E_{\gamma,1}=1173$  кэВ в пике полного поглощения, мы выделяли событие испускания второго  $\gamma$ -кванта с  $E_{\gamma,2}$ . Путем объединения таких событий по два, три и т.д., моделировались события одновременного изотропного вылета двух, трех и т.д.  $\gamma$ -квантов  $E_{\gamma,2}$ .

Система набора данных установки записывала события, в которых в СеВг<sub>2</sub>-детекторе выделялась энергия  $1173 \pm 10$  кэB, что в подавляющем большинстве случаев соответствовало событиям регистрации в Се  $Br_3$ -детекторе  $\gamma$ -кванта с  $E_{\gamma,1}=1173$  кэBв пике полного поглощения (исключением являлись фоновые события, соответствующие пьедесталу под пиком полного поглощения в энергетическом спектре). Полное число таких событий обозначим как  $n_1$ . В каждой записи о событии имелась информация о времени  $T_{\rm Cs}$  срабатывания и энерговыделении  $E_{\rm Cs}$   $\gamma$ -излучения в CsI(Tl)-детекторах спектрометра. Поскольку временные характеристики стартовых детекторов  $\operatorname{CeBr}_3$  и  $\Delta E_0$ (времена  $T_{\mathrm{Cs}}$  срабатывания пороговых дискриминаторов детектора относительно стартового сигнала с детекторов CeBr<sub>3</sub> и  $\Delta E_0$ ) были близки, соответственно, и форма контуров на двумерных амплитудно-временных  $E_{\mathrm{Cs}} \cdot T_{\mathrm{Cs}}$ -спектрах CsI(Tl)-детекторов (рис. 2 e) не потребовала изменения.

Гамма-квант с  $E_{\gamma,2}=1332$  кэВ (либо вторичные фотоны, электроны и позитроны, образующиеся при его взаимодействии с веществом детектора) считался зарегистрированным в одном или нескольких CsI(Tl)-детекторах, если точка на спектре  $E_{\rm Cs} \cdot T_{\rm Cs}$  попадала внутрь контура соответствующего детектора. Число k сработавших детекторов называют кратностью срабатывания детекторов.

Экспериментальная эффективность регистрации спектрометром у-излучения с энергией

 $E_{\gamma,2}$  и множественностью M=1 определялась по формуле

$$P(1) = \frac{N_k^{(1)}}{n_1},\tag{3}$$

где  $N_k^{(1)}$  — число событий, в которых было зарегистрировано срабатывание k детекторов с энерговыделением выше величины порога (150 кэВ).

Путем последовательного объединения  $n_1$  событий формировались  $n_M = n_1/M$  групп из M событий. Эти группы представляли собой новые (экспериментально смоделированные) события, в которых происходила изотропная эмиссия группы из M = 2, 3, 4, 5 ү-квантов с энергией  $E_{\gamma,2}$ .

Определялось число  $N_k^{(M)}$  событий, в которых было зарегистрировано срабатывание k детекторов с энерговыделением выше порога. Экспериментальная эффективность регистрации спектрометром  $\gamma$ -излучения множественностью M определялась по формуле

$$P(M) = \frac{1}{n_M} \sum_{k=1}^{M} N_k^{(M)}.$$
 (4)

Полученная зависимость экспериментальной эффективности регистрации спектрометра от множественности  $M \le 5$   $\gamma$ -излучения с  $E_{\gamma,2} = 1332$  кэВ представлена на рис 3a. Видно, что с увеличением множественности  $P(M) \to 1$ ; для множественности M > 5 величина эффективности P(M) > 0.96. Относительные частоты  $w_M(k)$  кратности k срабатывания детекторов спектрометра при регистрации M  $\gamma$ -квантов

$$w_{M}(k) = \frac{N_{k}^{(M)}}{n_{M}P(M)}$$
 (5)

показаны на рис. 36. Вероятность кратности k срабатывания детекторов спектрометра при регистрации M  $\gamma$ -квантов равна  $P(M)w_M(k)$ .

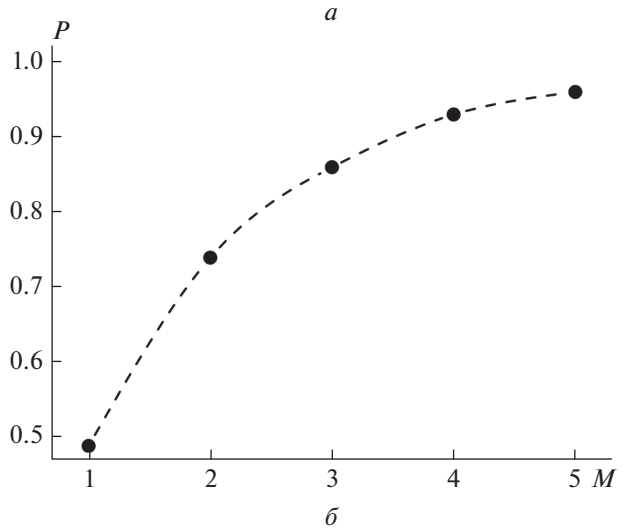
При измерениях без мишени связь числа  $N_k$  срабатывания k детекторов с потоком  $I_0$  аппроксимировалось линейной зависимостью

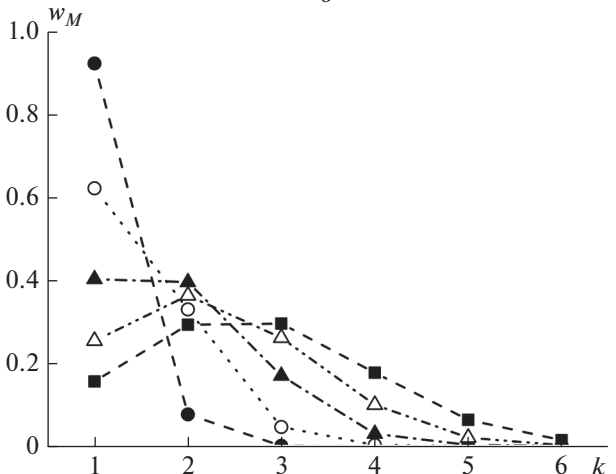
$$N_{k}' = N_{0k}' + \beta_{k} I_{0}. \tag{6}$$

Значения коэффициентов  $\beta_k$  и их погрешности  $\delta\beta_k$  определялись первоначально с помощью линейной регрессии. Практически значения пара-

метров  $N_{0k}^{'}$  оказались малы по модулю, поэтому в дальнейшем использовалось более простое выражение

$$N_k' = \beta_k I_0 \tag{7}$$





**Рис. 3.** a — эффективность P(M) регистрации спектрометром группы из  $M\gamma$ -квантов;  $\delta$  — относительные частоты  $w_M(k)$  кратности k срабатывания детекторов спектрометра при регистрации M  $\gamma$ -квантов для M = 1 ( $\bullet$ ), M = 2 ( $\bigcirc$ ), M = 3 ( $\blacktriangle$ ), M = 4 ( $\triangle$ ), M = 5 ( $\blacksquare$ ).

с коэффициентами  $\beta_k$ , найденными методом наименьших квадратов по результатам m измерений

$$\beta_k = \frac{\sum_{j=1}^m I_{0j} N'_{kj}}{\sum_{i=1}^m I_{0j}^2}.$$
 (8)

Числа  $N_k$  срабатываний k детекторов, коэффициенты  $\beta_k$  и их погрешности  $\delta\beta_k$  для нескольких энергий E и потоков  $I_0$  ядер <sup>9</sup>Li и <sup>6</sup>He при экспозициях без мишени приведены в табл. 1.

Числа  $N_k$  срабатываний k детекторов для потока  $I_0$  ядер <sup>6</sup>Не и <sup>9</sup>Li при экспозиции с мишенью приведены в табл. 2. Результат измерения сечения

<b>Таблица 1.</b> Числа $N_k$ срабатываний $k$ детекторов, коэффициенты $\beta_k$ и их погрешности $\delta\beta_k$ для нескольких энер-
гий $E$ и потоков $I_0$ ядер ${}^9{ m Li}$ и ${}^{6,8}{ m He}$ при экспозициях без мишени

Ядро	$E, A \cdot $ МэВ	$I_0$	$N_1$	$N_2$	$N_3$	$N_4^{'}$	$N_5$
<sup>9</sup> Li	36.2	283729	227	41	17	6	0
		$\beta_k$	$8.0 \cdot 10^{-4}$	$1.4 \cdot 10^{-4}$	$6.0 \cdot 10^{-5}$	$2.1 \cdot 10^{-5}$	0
611	39.1	213 213	191	53 19		6	3
<sup>6</sup> He		$\beta_k$	$9.0 \cdot 10^{-4}$	$2.5 \cdot 10^{-4}$	$8.9 \cdot 10^{-5}$	$2.8 \cdot 10^{-5}$	$1.4 \cdot 10^{-5}$
<sup>8</sup> He	12.7	147126	146	20	10	0	0
	14.8	176149	168	26	3	1	2
	16.4	150745	121	30	10	2	0
	21.0	261581	209	67	15	9	3
	23.2	382646	328	72	20	13	1
		$\beta_k$	8.60 · 10 <sup>-4</sup>	$1.97 \cdot 10^{-4}$	$5.20 \cdot 10^{-5}$	$2.69 \cdot 10^{-5}$	$5.2 \cdot 10^{-6}$
		$\delta \beta_k$	$8.2 \cdot 10^{-5}$	$5.5 \cdot 10^{-5}$	$2.0 \cdot 10^{-5}$	$8.0 \cdot 10^{-6}$	$7.1 \cdot 10^{-6}$

**Таблица 2.** Числа  $N_k$  срабатываний k детекторов, эффективность регистрации  $\eta$  и полные сечения реакции  $\sigma_R$  для энергии E и потока  $I_0$  ядер <sup>9</sup>Li и <sup>6</sup>He при экспозициях с мишенью Si

Ядро	<i>E</i> , <i>A</i> · МэВ	$I_0$	$N_1$	$N_2$	$N_3$	$N_4$	$N_5$	$\eta = \eta_0$		$\eta < \eta_0$	
								η	$\sigma_R$ , мб	η	$\sigma_R$ , мб
<sup>9</sup> Li	$35.9 \pm 0.3$	300366	399	143	76	37	14	0.85	1761 ± 46	_	_
<sup>6</sup> He	$38.8 \pm 0.3$	244884	315	122	52	16	6	0.85	1490 ± 111	$0.78 \pm 0.04$	$1624 \pm 121$

реакции определялся с учетом кратности k срабатывания в следующем порядке. Пусть при реакции с вероятностью  $\Gamma(M)$  испускаются M  $\gamma$ -квантов и/или нейтронов. Тогда вероятность регистрации k фотонов и/или нейтронов (со срабатыванием k детекторов) в результате реакции равна

$$\sum_{M=1}^{5} \Gamma(M) P(M) w_M(k). \tag{9}$$

При полном числе взаимодействий  $\Delta I = I_0 \sigma_R n$  расчетное число их регистраций со срабатыванием k детекторов составит

$$\Delta \tilde{I} \sum_{M=1}^{5} \Gamma(M) P(M) w_M(k) =$$

$$= \eta I_0 \sigma_R n \sum_{M=1}^{5} \Gamma(M) P(M) w_M(k).$$
(10)

Обозначим  $N_{\gamma k}$  число зарегистрированных событий со срабатыванием k детекторов. Из условия равенства числа зарегистрированных событий

$$N_{\gamma k} - N_{\gamma k}' = N_{\gamma k} - \beta_k I_0$$
 их расчетному значению

$$N_{\gamma k} - \beta_k I_0 = \eta I_0 \sigma_R n \sum_{M=1}^5 \Gamma(M) P(M) w_M(k) =$$

$$= \eta I_0 n \sum_{M=1}^5 \sigma_{RM} P(M) w_M(k)$$
(11)

следует система линейных уравнений для неизвестных  $\tilde{\sigma}_{RM} = \eta \sigma_{RM} = \eta \sigma_R \Gamma(M)$ 

$$\sum_{M=1}^{5} \tilde{\sigma}_{M} P(M) w_{M}(k) - \frac{N_{\gamma k} - \beta_{k} I_{0}}{I_{0} n} = 0.$$
 (12)

Поскольку коэффициенты системы (12) определены с погрешностями, ее точное решение может приводить к нефизическим значениям  $\tilde{\sigma}_{RM} < 0$ .

Поэтому корректнее находить неизвестные  $\tilde{\sigma}_{RM}$  из условия минимума суммы квадратов левых частей

$$F\left(\tilde{\sigma}_{R1}, \dots, \tilde{\sigma}_{R5}\right) =$$

$$= \sum_{k=1}^{5} \left[ \sum_{M=1}^{5} \tilde{\sigma}_{RM} P(M) w_{M}(k) - \frac{N_{\gamma k} - \beta_{k} I_{0}}{I_{0} n} \right]^{2}$$
(13)

при ограничении  $\tilde{\sigma}_{RM} \ge 0$ . Полное сечение реакции  $\sigma_R$  определяется формулами

$$\sigma_R = \frac{\tilde{\sigma}_R}{\eta}, \quad \tilde{\sigma}_R = \sum_{M=1}^5 \tilde{\sigma}_{RM}.$$
 (14)

Погрешности  $\delta\beta_k$  коэффициентов  $\beta_k$  приводят к погрешности  $\Delta\tilde{\sigma}_R$  величины  $\tilde{\sigma}_R$ . Оценка  $\Delta\tilde{\sigma}_R$  может быть получена по формуле

$$\Delta \tilde{\sigma}_R = \left| \tilde{\sigma}_R^{(+)} - \tilde{\sigma}_R^{(-)} \right| / 2, \tag{15}$$

где  $\tilde{\sigma}_R^{(+)}$  и  $\tilde{\sigma}_R^{(-)}$  — значения, полученные для набора параметров  $\beta_k + \delta\beta_k$  и  $\beta_k - \delta\beta_k$ , соответственно. Для оценки относительной  $\epsilon_\sigma$  и абсолютной  $\Delta\sigma_R$  погрешностей полного сечения реакции были использованы выражения

$$\varepsilon_{\sigma} = \frac{\Delta \tilde{\sigma}_{R}}{\tilde{\sigma}_{R}} + \frac{\Delta \eta}{\eta}, \quad \Delta \sigma_{R} = \sigma_{R} \varepsilon_{\sigma}.$$
(16)

Полное сечение реакции  $^9\text{Li} + ^{28}\text{Si}$  при энергии 35.9  $A \cdot \text{MэB}$ , вычисленное с учетом поправки  $\eta$ , равной геометрической эффективности регистрации  $\eta = \eta_0 = 0.85$ , приведено в табл. 2 и на рис. 4a. Минимальное удаление полученной точки (для  $\eta = \max\{\eta\} = \eta_0$ ) от сглаженной кривой, проведенной через известные экспериментальные точки, позволяет считать изотропным испускание  $\gamma$ -квантов и нейтронов, образующихся при реакции  $^9\text{Li} + ^{28}\text{Si}$ . Отметим, что найденное экспериментальное значение полного сечения реакции хорошо согласуется с результатами теоретического расчета из работы [2].

Для реакции  ${}^{6}$ He +  ${}^{28}$ Si расчет с поправкой  $\eta$ , равной геометрической эффективности регистрации  $\eta = \eta_0 = 0.85$ , дает (в отличие от реакции  $^{9}$ Li +  $^{28}$ Si) результат, заниженный по сравнению с результатами других работ (см. рис. 46 и табл. 2). Это может служить косвенным подтверждением анизотропного характера вылета нейтронов для реакции  $^6$ He +  $^{28}$ Si. Из-за малости энергии отделения нейтрона от ядер  ${}^{6}$ He (1.9 МэВ [16—18]),  ${}^{8}$ He (2.5 МэВ [16–18]) повышенную вероятность вылета вперед под малыми углами могут иметь нейтроны, образующиеся при развале ядра-снаряда [8]. Использование поправки  $\eta = 0.78 < \eta_0$  приводит к значению полного сечения, соответствующему точке на сглаженной кривой, построенной по известным экспериментальным данным

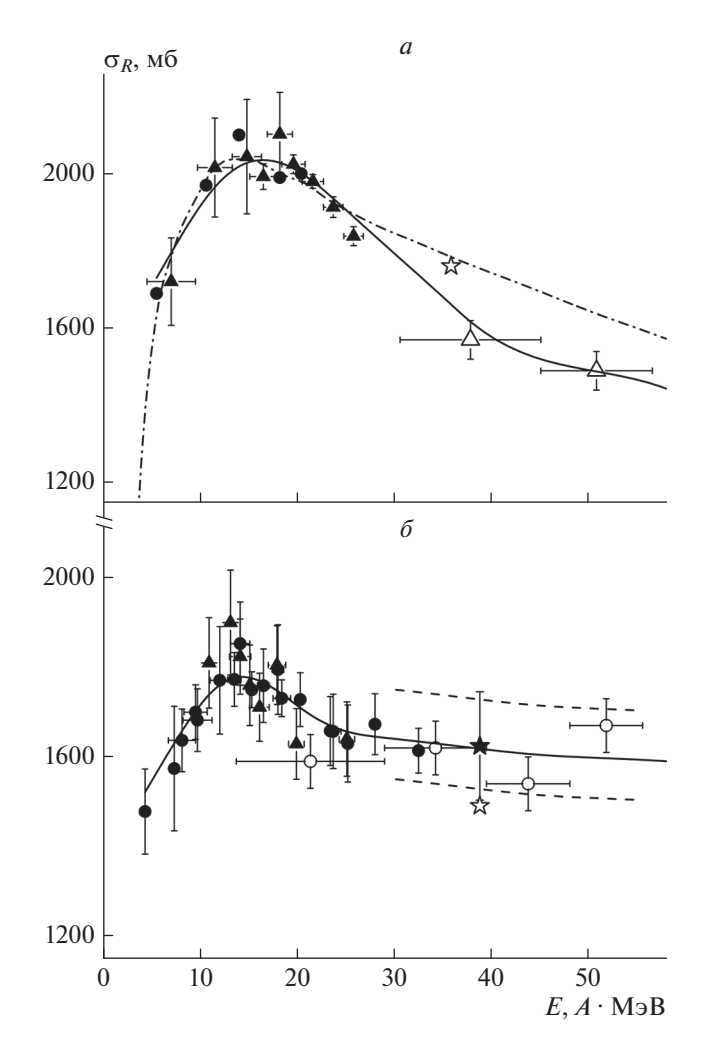


Рис. 4. Экспериментальные (символы) и сглаженные сплайнами (кривые) энергетические зависимости полных сечений реакций:  $a - {}^9\text{Li} + {}^{28}\text{Si}$ : ● [2], ▲ [10],  $\triangle$  [6];  $\delta - {}^6\text{He} + {}^{28}\text{Si}$ : ○ [6], ▲ [10], ● [3, 15]; результаты данной работы  $\diamondsuit$  — для поправки  $\uptau$  = 0.85 (равной геометрической эффективности регистрации) и  $\uptau$  =  $\uptau$  = 0.78; штрихпунктирная линия на рис.  $\uptau$  = теоретическая кривая из работы [2]; штриховые линии на рис.  $\uptau$  = границы доверительного интервала для сечения с учетом погрешностей измерений.

(рис. 4 $\delta$ ). Границам доверительного интервала для сечения с учетом погрешностей измерений соответствует доверительный интервал значений поправки  $\eta = 0.78 \pm 0.04$ .

Значения поправки  $\eta$  для реакций  ${}^6{\rm He} + {}^{28}{\rm Si}$  и  ${}^9{\rm Li} + {}^{28}{\rm Si}$  приведены на рис. 5 в зависимости от энергии  $E_s$  отделения одного и двух внешних нейтронов от ядер  ${}^6{\rm He}$  и  ${}^9{\rm Li}$ . Видно, что поправка  $\eta$  стремится  $\kappa$  геометрической эффективности регистрации  $\eta \to \eta_0$  при  $E_s \gg 1$  МэВ, и убывает  $\eta < \eta_0$  при уменьшении  $E_s$ . Это позволяет полу-

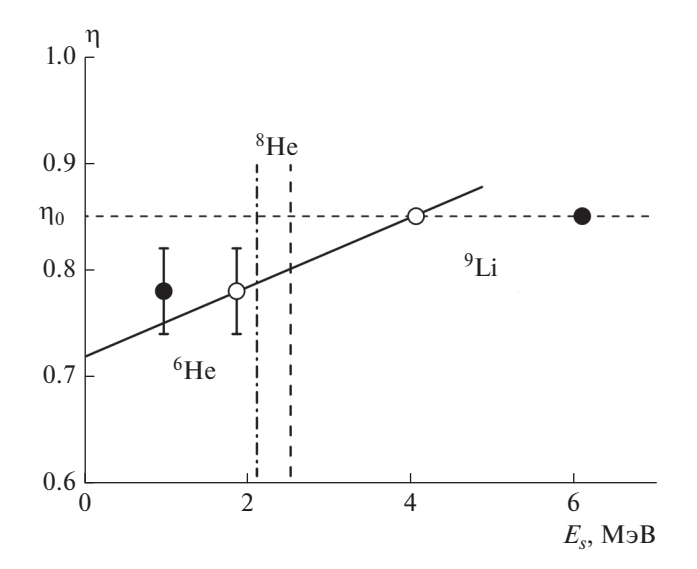
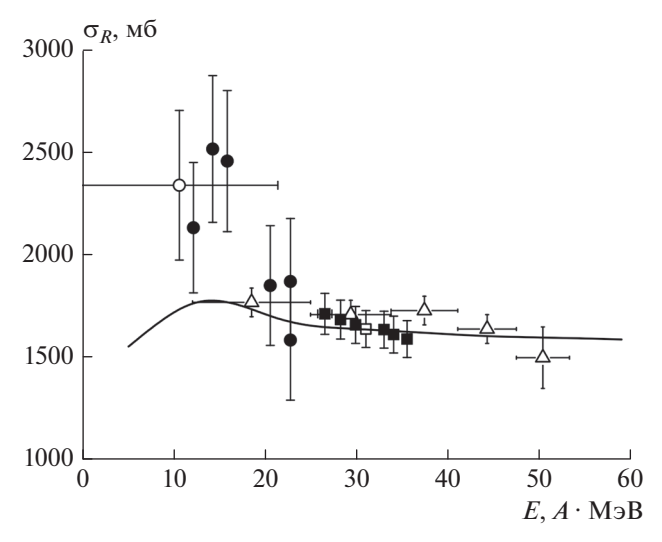


Рис. 5. Зависимость поправки  $\eta$  для реакций  $^6$ He +  $^{28}$ Si и  $^9$ Li +  $^{28}$ Si от энергии  $E_{\rm S}$  отделения одного (○) и двух (●) внешних нейтронов ядер  $^9$ Li и  $^6$ He. Сплошная линия — результат линейной интерполяции. Вертикальные линии соответствуют энергии отделения одного (штриховая линия) и двух (штрихлунктирная линия) нейтронов от ядра  $^8$ He.

чить с помощью значений энергии  $E_s$  отделения одного нейтрона (2 МэВ, [16—18]) интервальную оценку поправки  $\eta = \langle \eta \rangle \pm \delta \eta$  для реакции  $^8$ He +  $^{28}$ Si. С учетом энергии связи одного и двух (2.5 МэВ, [16—18]) нейтронов ядра  $^8$ He были получены значения  $\langle \eta \rangle = 0.79$ ,  $\delta \eta = 0.03$ .

Числа  $N_k$  срабатываний k детекторов для потока  $I_0$  ядер  $^8$ Не при экспозиции с мишенью приведены в табл. 3. Значения сечения для реакции  $^8$ Не +  $^{28}$ Si также приведены в табл. 3. Полученные полные сечения реакции  $^8$ Не +  $^{28}$ Si показаны на рис. 6 в сравнении с кривой для реакции  $^6$ Не +  $^{28}$ Si, полученной сглаживанием экспериментальных данных.



**Рис. 6.** Экспериментальная энергетическая зависимость полного сечения реакции  ${}^8\text{He} + {}^{28}\text{Si:} \bullet - \text{результаты данной работы, } \triangle [6], \bigcirc [19], \blacksquare [20], \square [21]. Кривая — результаты сглаживания сплайнами экспериментальных данных для реакции <math>{}^6\text{He} + {}^{28}\text{Si}$  (см. рис. 4).

Видно, что значения полного сечения реакции  $^{8}$ He  $+ ^{28}$ Si при энергии около  $20 A \cdot \text{MэB}$  оказались близкими к значениям полного сечения реакции  $^{6}$ He +  $^{28}$ Si. В диапазоне 12–16  $A \cdot$  МэВ полное сечение реакции <sup>8</sup>He + <sup>28</sup>Si существенно выше полного сечения реакции  $^6$ He +  $^{28}$ Si. Возможной причиной образования такого максимума для реакции <sup>8</sup>Не + <sup>28</sup>Si является влияние внешних нейтронов на энергетическую зависимость оптического потенциала. Похожий максимум наблюдался в реакции  ${}^{9}$ Li +  ${}^{28}$ Si. для которой была обнаружена особенность в энергетической зависимости полного сечения в виде значительного повышения сечения ("бампа") в диапазоне энергий  $10-30 A \cdot M \ni B$  [10] (рис. 4a). Теоретически это было объяснено следствием увеличения плотности вероятности на-

**Таблица 3.** Числа  $N_k$  срабатываний k детекторов и полные сечения реакции  $\sigma_R$  для различных энергий E и потока  $I_0$  ядер <sup>8</sup>Не при экспозициях с мишенью

0 -	-						
$E, A \cdot $ МэВ	$I_0$	$N_1$	$N_2$	$N_3$	$N_4$	$N_5$	$\sigma_R$ , мб
$12.3 \pm 0.4$	119 471	172	75	55	20	4	$2134 \pm 318$
$14.4 \pm 0.4$	66 494	104	40	35	10	6	$2518 \pm 358$
$16.0\pm0.4$	256911	411	176	102	49	13	$2459 \pm 344$
$20.7 \pm 0.3$	361352	478	229	143	76	20	$1852 \pm 292$
$22.9 \pm 0.3$	302720	371	184	115	57	18	$1586 \pm 293$
$22.9 \pm 0.3$	346282	475	199	129	55	23	$1872 \pm 307$

хождения внешних нейтронов ядра-снаряда в области между поверхностями ядер при их сближении. В работе [10] энергетическая зависимость оптического потенциала была получена в рамках микроскопического комплексного фолдинг-потенциала.

#### **ЗАКЛЮЧЕНИЕ**

В работе измерены полные сечения реакций  $^{6,8}$ He  $+\,^{28}$ Si и  $^{9}$ Li  $+\,^{28}$ Si в диапазоне энергии пучка  $12-39~A \cdot M$ эВ методом трансмиссии с регистрацией мгновенного нейтронного и гамма-излучения. Полученные экспериментальные полные сечения реакции  $^{8}$ He  $+\,^{28}$ Si находятся в согласии с опубликованными результатами и при этом охватывают ранее неисследованный диапазон низких энергий. Обнаружено, что в относительно узком диапазоне  $12-16~A \cdot M$ эВ полное сечение реакции  $^{8}$ He  $+\,^{28}$ Si существенно выше полного сечения реакции  $^{6}$ He  $+\,^{28}$ Si.

При обработке данных применена методика, учитывающая экспериментальные значения эффективности регистрации гамма-излучения различной множественности и кратности срабатывания детекторов спектрометра. Предложенный способ измерений с регистрацией мгновенного нейтронного и гамма-излучения составным спектрометром с несколькими сцинтилляционными детекторами в сочетании с описанной методикой обработки данных расширяет возможности метода трансмиссии по измерению полного сечения реакции.

Авторы выражают благодарность научной группе установки ACCULINNA за всемерную помощь при проведении экспериментов на пучках фрагмент-сепаратора.

Работа была поддержана грантом 17-12-01170 Российского научного фонда.

## СПИСОК ЛИТЕРАТУРЫ

- 1. *Пенионжкевич Ю.Э., Калпакчиева Р.Г.* Легкие ядра у границы нейтронной стабильности. Дубна: ОИЯИ, 2016. 383 с.
- 2. Пенионжкевич Ю.Э., Соболев Ю.Г., Самарин В.В. и др. // ЯФ. 2017. Т. 80. С. 525; Penionzhkevich Yu.E., Sobolev Yu.G., Samarin V.V. et al. // Phys. Atom. Nucl. 2017. V. 80. P. 928.

- 3. Соболев Ю.Г., Будзановский А., Бялковский Э. и др. // Изв. РАН. Сер. физ. 2005. Т. 69. С. 1603; Sobolev Yu.G., Budzanowski A., Bialkowski E. et al. // Bull. Russ. Acad. Sci.: Phys. 2005. V. 69. P. 1790.
- 4. Лукьянов К.В., Земляная Е.В., Лукьянов В.К. и др. // Изв. РАН. Сер. физ. 2008. Т. 72. С. 382; Lukyanov К.V., Zemlyanaya E.V., Lukyanov V.K. et al. // Bull. Russ. Acad. Sci.: Phys. 2008. V. 72. P. 356.
- Tanihata I., Hirata D., Kobayashi T. et al. // Phys. Lett. B. 1992. V. 289. P. 261.
- Warner R.E., Patty R.A., Voyles P.M. et al. // Phys. Rev. C. 1996. V. 54. P. 1700.
- 7. Warner R.E. // Phys. Rev. C. 1997. V. 55. P. 298.
- 8. Anne R., Arnell S.E., Bimbot R. et al. // Phys. Lett. B. 1990. V. 250. P. 19.
- 9. Соболев Ю.Г., Иванов М.П., Пенионжкевич Ю.Э. // ПТЭ. 2012. № 6. С. 13; Sobolev Yu.G., Ivanov M.P., Penionzhkevich Yu.E. // Instrum. Exp. Tech. 2012. V. 55. P. 618.
- 10. Соболев Ю.Г., Пенионжкевич Ю.Э., Азнабаев Д. и др. // ЭЧАЯ. 2017. Т. 48. С. 871; Sobolev Yu.G., Penionzhkevich Yu.E., Aznabaev D. et al. // Phys. Part. Nucl. 2017. V. 48. P. 922.
- Rodin A.M., Stepantsov S.V., Bogdanov D.D. et al. // Nucl. Instrum. Methods Phys. Res. Sect. B. 2003. V. 204. P. 114.
- 12. Соболев Ю.Г., Иванов М.П., Пенионжкевич Ю.Э. и др. // ПТЭ. 2011. № 4. С. 5; Sobolev Yu.G., Ivanov M.P., Penionzhkevich Yu.E. et al. // Instrum. Exp. Tech. 2011. V. 54. P. 449.
- 13. LISE++ code. http://lise.nscl.msu.edu/.
- 14. *Tarasov O.B.*, *Bazin D.* // Nucl. Instrum. Methods Phys. Res. Sect. B. 2008. V. 266. P. 4657.
- 15. Угрюмов В.Ю., Кузнецов И.В., Бялковский Э. и др. // ЯФ. 2005. Т. 68. С. 17; Ugryumov V.Yu., Kuznetsov I.V., Bialkowski E. et al. // Phys. Atom. Nucl. 2005. V. 68. P. 16.
- 16. Загребаев В.И., Деникин А.С., Карпов А.В. и др. // Сетевая база знаний NRV по ядерной физике низких энергий. http://nrv.jinr.ru/.
- 17. Карпов А.В., Деникин А.С., Алексеев А.П. и др. // ЯФ. 2016. Т. 79. С. 520; Karpov A.V., Denikin A.S., Alekseev A.P. et al. // Phys. Atom. Nucl. 2016. V. 79. P. 749.
- Karpov A.V., Denikin A.S., Naumenko M.A. et al. // Nucl. Instrum. Methods Phys. Res. Sect. A. 2017. V. 859. P. 112.
- Villari A.C.C., Mittig W., Plagnol E. et al. // Phys. Lett. B. 1991. V. 268. P. 345.
- 20. Chen Li, Yan-Lin Ye, Wen-Long Zhan et al. // High Energy Phys. Nucl. Phys. 2007. V. 31. P. 52.
- 21. *Chen Li, Wen-Long Zhan, Guo-Qing Xiao et al.* // High Energy Phys. Nucl. Phys. 2005. V. 29. P. 944.